

УДК 539.3

© 2002 г. С.Л. ГЛАДКИЙ, Л.Н. ЯСНИЦКИЙ

## **ОБ ОЦЕНКЕ ПОГРЕШНОСТИ МЕТОДА ФИКТИВНЫХ КАНОНИЧЕСКИХ ОБЛАСТЕЙ**

Рассмотрены вопросы численной реализации и оценки погрешности метода фиктивных канонических областей. Возможности метода проиллюстрированы на тестовой задаче в сравнении с методом конечных элементов.

**1. Введение.** Как известно, появление быстродействующих электронно-вычислительных машин, в свое время, оказало влияние на развитие методов прикладной математики. С одной стороны, открылись перспективы решения сложных краевых задач, реально отражающих действительность, а с другой – изменились сами методы решения дифференциальных уравнений. Вместо традиционных аналитических приемов, стали активно развиваться численные методы, возникла новая область математики, называемая дискретной.

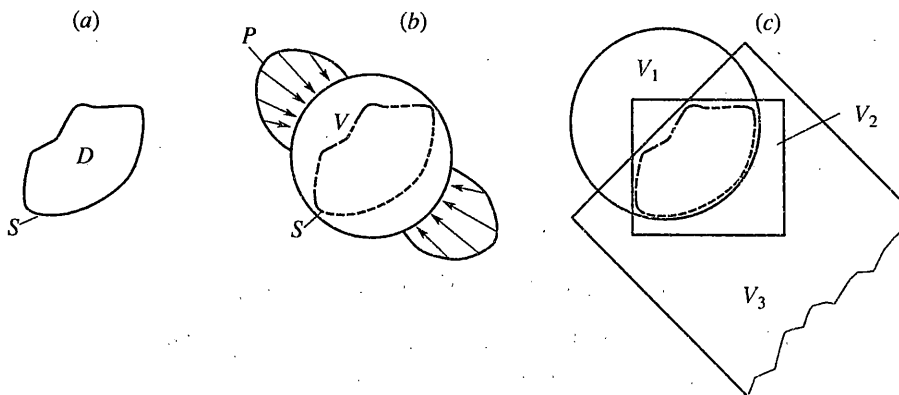
Однако увлечение численными методами в полной мере выявило не только их бесспорные преимущества, но и непреодолимые недостатки. К числу последних относится невозможность надежной оценки погрешности расчетных результатов. Этот недостаток особенно ощущается в последнее время в связи с применением математического моделирования для расчета ответственных объектов и процессов, от которых зависит безопасность людей, государств, цивилизации.

С дальнейшим развитием компьютерной индустрии наблюдается появление нового качества. Компьютеры становятся интеллектуальными. Это качественное изменение аппаратной базы снова приводит к изменению подходов, применяемых математиками при разработке алгоритмов решения краевых задач. Внимание вновь обращается к аналитическим подходам, теперь уже обогащенным методами искусственного интеллекта.

В работе [1] был предложен оригинальный аналитический метод решения краевых задач математической физики, впоследствии названный методом фиктивных канонических областей (ФКО). Метод ФКО успешно применялся для решения ряда задач расчета напряженно-деформированного состояния инженерных конструкций, определения тепловых, магнитных и электрических полей [2]. Однако, имея явные преимущества в экономичности, точности и надежности расчетных результатов, метод ФКО, тем не менее, уступал в универсальности алгоритмам, к которым приводят методы сеток, конечных и граничных элементов. Последнее явилось причиной снижения популярности метода ФКО.

В настоящее время, в связи с успехами в области искусственного интеллекта, возможностями работы с неформализованными и нечеткими знаниями, есть основания надеяться, что указанная проблема метода ФКО будет успешно решена, алгоритмы получат универсальность и станут конкурентно-способными, и метод ФКО, таким образом, приобретет "второе дыхание".

**2. Идея метода фиктивных канонических областей.** Существуют геометрические области, называемые каноническими, которые допускают применение метода разделения переменных Фурье и получение общего решения краевой задачи теории уп-



Фиг. 1

ругости в виде бесконечных рядов:

$$U_i = \sum_{n=1}^{\infty} c_n U_{in}, \quad \sigma_{ij} = \sum_{n=1}^{\infty} c_n \sigma_{ijn} \quad (2.1)$$

где  $U_i$ ,  $\sigma_{ij}$  – компоненты вектора перемещений и тензора напряжений,  $U_{in}$ ,  $\sigma_{ijn}$  – координатные функции, тождественно удовлетворяющие уравнениям теории упругости,  $c_n$  – постоянные коэффициенты, определяемые граничными условиями задачи.

Пусть требуется рассчитать напряженно-деформированное состояние (НДС) упругого тела  $D$ , на поверхности  $S$  которого заданы граничные условия в напряжениях и (или) в перемещениях (фиг. 1,  $a$ ).

Мысленно погрузим заданное тело  $D$  в некоторое фиктивное тело  $V$  канонической формы (фиг. 1,  $b$ ), для которого известно общее решение уравнений теории упругости в виде (2.1). Если теперь на поверхности фиктивного тела  $V$  создать нагружение  $P$  такое, что на поверхности  $S$  вписанного тела возникнут напряжения и (или) перемещения, совпадающие с заданными граничными условиями, то решение для  $V$  будет также являться решением и для тела  $D$ . Согласно методу ФКО фиктивная область  $V$  может быть образована пересечением нескольких канонических областей  $V = V_1 \cap V_2 \cap \dots$  (фиг. 1,  $c$ ). В этом случае общее решение для  $V$  складывается из суммы общих решений для  $V_1$ ,  $V_2$  и т.д.

Математически задача нагружения фиктивного тела  $V$  состоит в определении коэффициентов  $c_n$  в (2.1), обеспечивающих выполнение на  $S$  заданных граничных условий. Однако добиться требуемых граничных условий на границе заданного тела путем нагружения фиктивной области можно далеко не всегда. Как показано в [1–4], это зависит от выбора канонических областей и их расположения относительно заданного тела.

Таким образом, метод фиктивных канонических областей относится к методам, точно удовлетворяющим дифференциальным уравнениям и приближенно – граничным условиям, и его основная идея состоит в выборе базисных функций, который, по существу, сводится к выбору подходящих канонических областей для заданного тела и заданных граничных условий. Приведенная геометрическая интерпретация позволила сформулировать и доказать соответствующие теоремы сходимости и корректности, предложить критерии, которыми следует руководствоваться при выборе ФКО [2] и методики выбора ФКО [3, 4], обеспечивающие выполнение этих критериев. Не затрагивая теоретических проблем, остановимся на вопросе численной реализации и иллюстрации возможности оценки погрешности метода ФКО.

Постоянные  $c_n$  в разложении (2.1) могут быть найдены различными способами – методом граничной коллокации, путем минимизации граничных функционалов Треффца и Рейсснера и др. Рассмотрим применение для этой цели метода наименьших квадратов.

Пусть надо решить задачу теории упругости в декартовой системе координат  $x, y, z$  для тела  $D$ , на части поверхности  $S_1$  ( $S_1 \in S$ ) которого заданы граничные условия в напряжениях  $\bar{P}_x, \bar{P}_y, \bar{P}_z$ . Допустим, удалось подобрать фиктивную каноническую область  $V$  (либо пересечение канонических областей  $V_1 \cap V_2 \cap \dots$ ), удовлетворяющую необходимым критериям [2], для которой имеет место общее решение уравнений теории упругости типа (2.1). Аналогичные разложения могут быть получены для поверхностных напряжений

$$P_x = \sum_{n=1}^{\infty} c_n P_{xn}, \quad P_y = \sum_{n=1}^{\infty} c_n P_{yn}, \quad P_z = \sum_{n=1}^{\infty} c_n P_{zn} \quad (2.2)$$

Ограничившись конечным числом слагаемых  $N$ , следуя Л.С. Лейбензону [5], представим суммарную квадратичную погрешность удовлетворения граничным условиям на  $S_1$  в виде интеграла:

$$\epsilon_1 = \int_{S_1} [(\sum_{n=1}^N c_n P_{xn} - \bar{P}_x)^2 + (\sum_{n=1}^N c_n P_{yn} - \bar{P}_y)^2 + (\sum_{n=1}^N c_n P_{zn} - \bar{P}_z)^2] dS_1 \quad (2.3)$$

Условие минимума этого функционала ( $\partial \epsilon_1 / \partial c_k = 0$  ( $k = 1, 2, \dots, N$ )) эквивалентно системе линейных алгебраических уравнений относительно  $c_n$ :

$$\sum_{n=1}^N c_n \int_{S_1} (P_{xn} P_{xk} + P_{yn} P_{yk} + P_{zn} P_{zk}) dS_1 = \int_{S_1} (\bar{P}_x P_{xk} + \bar{P}_y P_{yk} + \bar{P}_z P_{zk}) dS_1 \quad (2.4)$$

Если на поверхности  $S_2$  тела  $D$  заданы перемещения  $\bar{U}_x, \bar{U}_y, \bar{U}_z$ , то функционал граничных условий имеет аналогичный вид

$$\epsilon_2 = \int_{S_2} [(\sum_{n=1}^N c_n U_{xn} - \bar{U}_x)^2 + (\sum_{n=1}^N c_n U_{yn} - \bar{U}_y)^2 + (\sum_{n=1}^N c_n U_{zn} - \bar{U}_z)^2] dS_2 \quad (2.5)$$

а его минимальное значение обеспечивают коэффициенты, найденные из системы уравнений

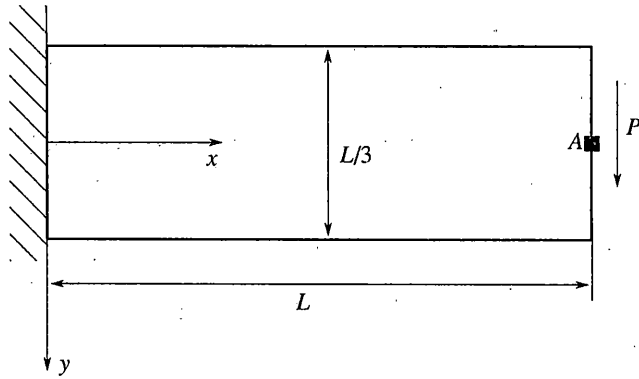
$$\sum_{n=1}^N c_n \int_{S_2} (U_{xn} U_{xk} + U_{yn} U_{yk} + U_{zn} U_{zk}) dS_2 = \int_{S_2} (\bar{U}_x U_{xk} + \bar{U}_y U_{yk} + \bar{U}_z U_{zk}) dS_2 \quad (2.6)$$

Методику Л.С. Лейбензона можно обобщить на смешанные задачи теории упругости, если ввести обобщенный функционал

$$\epsilon = (S/S_1)\epsilon_1 + k(S/S_2)\epsilon_2 \quad (2.7)$$

где  $k$  – весовой множитель, а  $S = S_1 + S_2$ . Из соображений совпадения размерностей удобно принять  $k = (E/L)^2$ ,  $E$  – модуль упругости,  $L$  – характерный размер тела. Дифференцируя функционал граничных условий по  $c_k$  и приравнявая производные к нулю, приходим к системе линейных алгебраических уравнений

$$\sum_{n=1}^N c_n \left[ \frac{1}{S_1} \int_{S_1} (P_{xn} P_{xk} + P_{yn} P_{yk} + P_{zn} P_{zk}) dS_1 + \frac{k}{S_2} \int_{S_2} (U_{xn} U_{xk} + U_{yn} U_{yk} + U_{zn} U_{zk}) dS_2 \right] = \frac{1}{S_1} \int_{S_1} (\bar{P}_x P_{xn} + \bar{P}_y P_{yn} + \bar{P}_z P_{zn}) dS_1 + \frac{k}{S_2} \int_{S_2} (\bar{U}_x U_{xn} + \bar{U}_y U_{yn} + \bar{U}_z U_{zn}) dS_2 \quad (2.8)$$



Фиг. 2

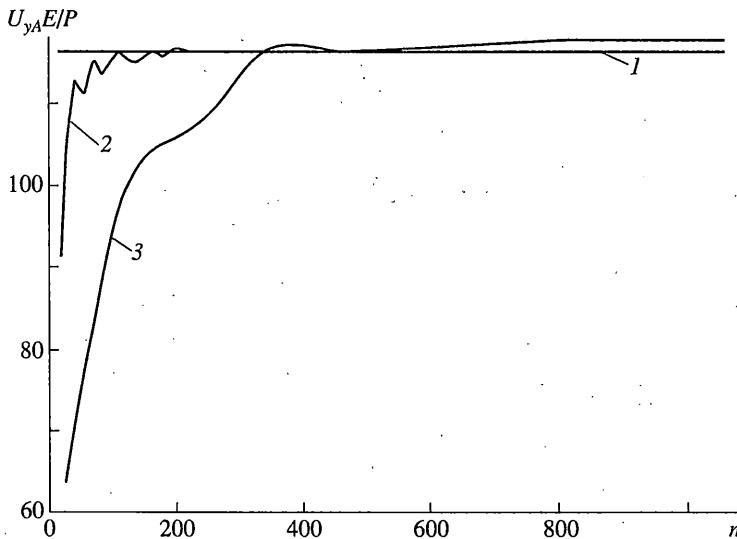
Коэффициентом  $k$  можно регулировать погрешность удовлетворения граничным условиям. При увеличении  $k$  возрастает точность удовлетворения граничным условиям в перемещениях и снижается в напряжениях. При уменьшении  $k$  эффект получается обратным. По существу, коэффициент  $k$  представляет собой оценку влияния на результат расчета кинематических и силовых граничных условий соответственно.

**3. Иллюстрация возможностей метода.** Для иллюстрации возможностей метода ФКО была решена тестовая задача об изгибе консольной балки единичной толщины, изображенной на фиг. 2. К свободному концу балки приложена сила  $P$  в виде распределенных по параболическому закону касательных напряжений.

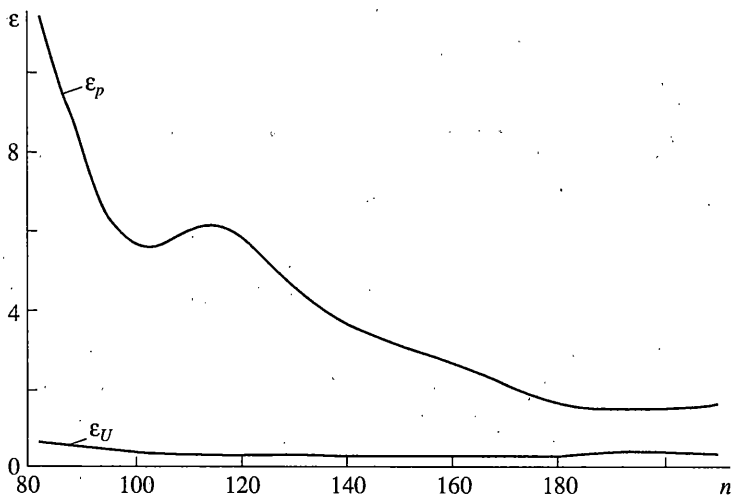
В качестве фиктивной области использовался круг, общее решение уравнений теории упругости для которого получено в [6] и в полярной системе координат имеет вид

$$\begin{aligned}
 U_r &= \frac{1}{E} \left\{ 2b_0(1-\mu)r + \sum_{n=1}^N [-a_n n(1+\mu)r^{n-1} + b_n(2(1-\mu) - n(1+\mu))r^{n+1}] \cos(n\phi) \right\} + \\
 &+ \frac{1}{E} \left\{ \sum_{n=1}^N [-c_n n(1+\mu)r^{n-1} + d_n(2(1-\mu) - n(1+\mu))r^{n+1}] \sin(n\phi) \right\} \\
 U_\phi &= \frac{1}{E} \left\{ -4d_0r + \sum_{n=1}^N [a_n n(1+\mu)r^{n-1} + b_n(4+n(1+\mu))r^{n+1}] \sin(n\phi) \right\} + \\
 &+ \frac{1}{E} \left\{ \sum_{n=1}^N [-c_n n(1+\mu)r^{n-1} - d_n(4+n(1+\mu))r^{n+1}] \cos(n\phi) \right\} \\
 \sigma_r &= 2b_0 - \sum_{n=1}^N [a_n n(n-1)r^{n-2} + b_n(n+1)(n-2)r^n] \cos(n\phi) - \\
 &- \sum_{n=1}^N [c_n n(n-1)r^{n-2} + d_n(n+1)(n-2)r^n] \sin(n\phi), \\
 \sigma_\phi &= 2b_0 + \sum_{n=1}^N [a_n n(n-1)r^{n-2} + b_n(n+1)(n+2)r^n] \cos(n\phi) + \\
 &+ \sum_{n=1}^N [c_n n(n-1)r^{n-2} + d_n(n+1)(n+2)r^n] \sin(n\phi) \\
 \tau_{r\phi} &= \sum_{n=1}^N [a_n n(n-1)r^{n-2} + b_n n(n+1)r^n] \sin(n\phi) - \sum_{n=1}^N [c_n n(n-1)r^{n-2} + d_n n(n+1)r^n] \cos(n\phi)
 \end{aligned} \tag{3.1}$$

где  $E$  – модуль Юнга,  $\mu$  – коэффициент Пуассона,  $N \rightarrow \infty$ .



Фиг. 3

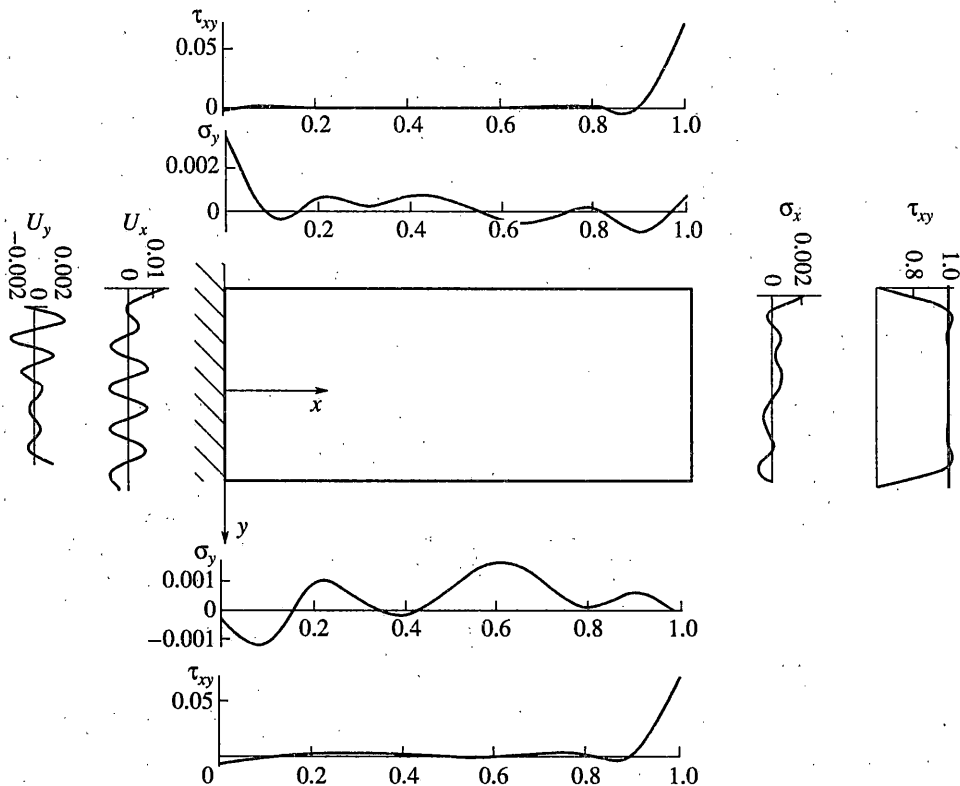


Фиг. 4

Результаты решения задачи приведены на фиг. 3 (кривая 2) в виде зависимости вертикального перемещения свободного конца балки (точка A) от порядка системы разрешающих алгебраических уравнений. Для сравнения на той же фигуре приведена аналогичная кривая сходимости 3, полученная методом конечных элементов с помощью пакета ANSYS 5.5. Здесь же в виде горизонтальной линии 1 изображено известное эталонное решение тестовой задачи, заимствованное из [7].

Как видно из приведенных данных, метод ФКО сходится к эталонному решению быстрее, чем метод конечных элементов.

Остановимся теперь на вопросах оценки погрешности расчетных результатов (фиг. 4). Как известно, в методе конечных элементов дифференциальные уравнения в пределах расчетной области удовлетворяются приближенно. Даже если применять специальные элементы с точным удовлетворением дифференциальных уравнений, их удовлетворение будет нарушаться на границах элементов. Поэтому оценить влияние



Фиг. 5

этих нарушений на результат решения граничной задачи представляет серьезные трудности.

В методе ФКО дифференциальные уравнения задачи удовлетворяются тождественно во всей расчетной области, и о погрешности полученного решения можно судить по точности удовлетворения граничным условиям задачи. Как следует из сопоставления фиг. 3, 4, эти величины коррелируют между собой, т.е. при уменьшении погрешности удовлетворения граничным условиям  $\epsilon(\%)$  приближенное решение стремится к эталонному ( $\epsilon_p$  – погрешность по напряжениям,  $\epsilon_U$  – по перемещениям).

Метод ФКО предоставляет уникальную возможность воссоздать граничные условия той краевой задачи, которым соответствует полученное этим методом решение. Так, подставив в решение (3.1) координаты границ заданной области и производя вычисления, например, при  $n = 200$ , получим некоторые распределения напряжений и перемещений, приведенные на фиг. 5 в относительных величинах:  $U_i/U_{\max}$ ,  $\sigma_{ij}/P$ . Как видно из рисунка, эти распределения отличаются от граничных условий исходной краевой задачи по перемещениям не более чем на  $\epsilon_U = 0.5\%$ , и по напряжениям – не более чем на  $\epsilon_p = 2\%$ . Поскольку решение (3.1) тождественно удовлетворяет дифференциальным уравнениям задачи при любых  $n$ , то можно утверждать, что при  $n = 200$  удалось получить точное решение задачи теории упругости, соответствующее граничным условиям, представленным на фиг. 5. Причем, можно оценить, на сколько граничные условия этой задачи отличаются от заданных.

В практике компьютерного моделирования некоторая корректировка граничных условий как правило бывает возможна. Дело в том, что граничные условия решаемых

задач обычно сами по себе являются результатом каких-либо гипотез, либо они представляют данные измерений физических приборов, которые всегда имеют некоторую погрешность. Поэтому предлагается при постановке краевых задач, помимо формулировки граничных условий, задавать допуск на их выполнение. И если  $\epsilon_p$  и  $\epsilon_U$  укладываются в этот допуск, то вопрос об оценке погрешности расчетных результатов снимается в принципе.

Естественно, такой подход к оценке надежности результатов вызывает вопрос об устойчивости решения задачи по отношению к возмущениям граничных условий. Ответ на этот вопрос дает принцип Сен-Венана, утверждающий, что если локальную систему сил заменить статически эквивалентной, то результат этой замены в упругой среде быстро затухает. Применяемый здесь метод наименьших квадратов приводит именно к статически эквивалентной замене граничных функций.

**4. Заключение.** Основным достоинством метода ФКО является возможность надежной оценки погрешности расчетных результатов. Так как уравнения теории упругости методом ФКО удовлетворяются тождественно во всей расчетной области, то о точности полученного решения можно судить по погрешности удовлетворения граничным условиям, которую всегда можно вычислить. Таким образом, всегда можно воссоздать краевую задачу, которую методом ФКО удастся решить точно. И если граничные условия этой краевой задачи незначительно отличаются от заданных, и это отличие укладывается в заранее определенный допуск, то вопрос о погрешности расчетных результатов снимается в принципе.

Таким образом, метод ФКО можно рекомендовать для решения краевых задач, требующих повышенной точности и надежности расчетных результатов.

Работа выполнена при финансовой поддержке РФФИ (проект 01-01-01049).

#### СПИСОК ЛИТЕРАТУРЫ

1. Ясницкий Л.Н. Об одном способе решения задач теории гармонических функций и линейной теории упругости // Прочностные и гидравлические характеристики машин и конструкций. Пермь: Изд-во ППИ, 1973. С. 78–83.
2. Ясницкий Л.Н. Метод фиктивных канонических областей в механике сплошных сред. М.: Наука, 1992. 126 с.
3. Ясницкий Л.Н. Суперпозиция базисных решений в методах типа Треффца // Изв. АН СССР. МТТ. 1989. № 2. С. 95–101.
4. Ясницкий Л.Н. Композиция расчетной области в методе фиктивных канонических областей // Изв. АН СССР. МТТ. 1990. № 6. С. 168–172.
5. Лейбензон Л.С. Вариационные методы решения задач теории упругости. М.; Л.: Гостехиздат, 1943. 287 с.
6. Тимошенко С.П. Теория упругости. Л.; М.: Гостехиздат, 1934. 451 с.
7. Галлагер Р. Метод конечных элементов. Основы. М.: Мир, 1984. 428 с.

Пермь

Поступила в редакцию  
31.11.2000